

*Journal of Organometallic Chemistry*, 190 (1980) 315–324  
 © Elsevier Sequoia S.A., Lausanne — Printed in The Netherlands

## NICKEL(0)-KOMPLEXE MIT BENZOPHENONIMIN-LITHIUM UND BENZOPHENONIMIN

H. HOBERG \*, V. GÖTZ, R. GODDARD \*\* und C. KRÜGER \*\*

*Max-Planck-Institut für Kohlenforschung, Postfach 01 13 25, D-4330 Mülheim a.d. Ruhr (B.R.D.)*

(Eingegangen den 10. Oktober 1979)

### Summary

Lithium benzophenoneimide reacts with di-1,5-cyclooctadienenickel in diethyl ether to yield a novel multi-metal complex, the structure of which has been characterized by spectroscopic and X-ray methods. (Cell data:  $a$  14.013(1),  $b$  13.817(1),  $c$  33.147(1) Å,  $\beta$  81.960(4)°,  $R$  = 0.049). The main structural elements are a Li—Li (2.542 Å) entity, connected by two Ph<sub>2</sub>C=N units, and two nickel atoms at nonbonding distance, bridged by another Ph<sub>2</sub>C=NLi molecule. In addition, two benzophenoneimine Ph<sub>2</sub>C=NH molecules are  $\pi$ -bonded to the nickel atoms and also connected via a single lithium atom. Free coordination sites on all lithium atoms are occupied by ether molecules.

### Zusammenfassung

Lithium-benzophenonimin reagiert mit Bis(1,5-cyclooctadien)nickel in Diethylether zu einem neuen Multi-Metall-Komplex, dessen Struktur durch spektroskopische und röntgenographische Methoden charakterisiert wurde, (Zell-Daten:  $a$  14.013(1),  $b$  13.817(1),  $c$  33.147(1) Å,  $\beta$  81.960(4)°,  $R$  = 0.049). Die wesentlichen Strukturmerkmale sind eine Li—Li-Einheit (2.542 Å), verbunden durch zwei Ph<sub>2</sub>C=N-Brücken, und zwei Nickel-Atome auf nichtbindendem Abstand, verbrückt durch ein weiteres Ph<sub>2</sub>C=NLi-Molekül. Ferner sind zwei Benzophenonimin Ph<sub>2</sub>C=NH-Moleküle an die Nickelatome  $\pi$ -gebunden und zusätzlich über ein einzelnes Lithium-Atom verknüpft. Freie Koordinationsstellen sind an allen Lithium-Atomen durch Ether-Moleküle besetzt.

---

### Einleitung und Ergebnisse

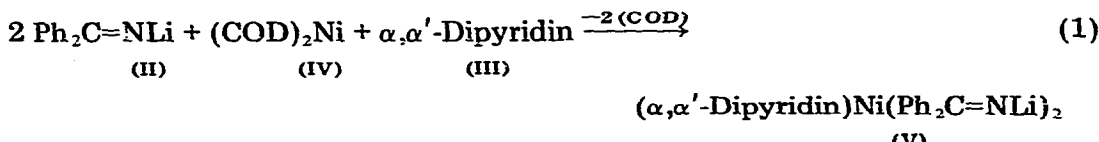
Benzophenonimin (Ph<sub>2</sub>C=NH, I) reagiert mit Nickel(0) zu Komplexen mit Ligand—Metall-Bindungen, die über das  $\pi$ -System und über das freie Elektronen-

\* Korrespondenzautor.

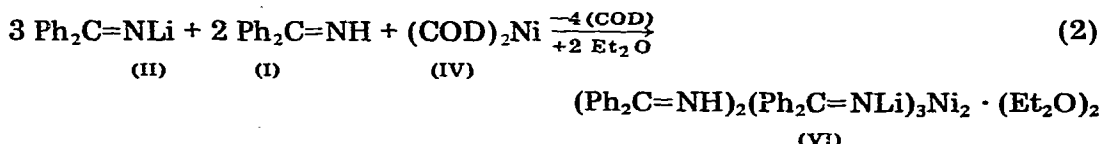
\*\* Röntgenstrukturanalyse.

paar der C=N-Gruppe bestehen, wobei jedoch die C=NH-Gruppen mit einem trimeren Assoziat  $[(\text{Ph}_2\text{C}=\text{NH})_2\text{Ni}]_3$  erhalten bleiben [1]. Von Interesse erschien uns nun, das Reaktionsverhalten des Lithium-benzophenonimins ( $\text{Ph}_2\text{C}=\text{NLi}$ , II) gegenüber  $(\text{COD})_2\text{Ni}$  (IV) zu untersuchen, um mögliche Wechselwirkungen zwischen Haupt- und Nebengruppenmetallen zu erkennen.

In Gegenwart von  $\alpha,\alpha'$ -Dipyridin (III) entsteht in Diethylether mit  $(\text{COD})_2\text{Ni}$  (IV) nach Gl. 1 eine braune, feinkristalline Verbindung V, in der Ni, II und III im Verhältnis 1/2/1 nachzuweisen sind. Die genaue Struktur von V ist jedoch noch weitgehend unklar [2].



Bei Abwesenheit von III entsteht jedoch aus II mit IV in Diethylether bei Raumtemperatur in sehr langsamer Reaktion (ca. 60 Tage) ein neuartiger Komplex (VI), in dem nicht mehr das durch II vorgegebene Verhältnis Li/N = 1/1, sondern 3/5 beobachtet wird. Zudem liegt ein Ni/N-Verhältnis von 1/2.5 vor. Im IR-Spektrum findet sich eine Bande bei  $3260 \text{ cm}^{-1}$ , die zusammen mit einem Singulett bei  $\delta = 10.11 \text{ ppm}$  im  $^1\text{H-NMR}$ -Spektrum NH-Gruppen anzeigt. Offensichtlich ist durch partielle Protolyse aus II mit Diethylether unter dem Einfluss von Nickel(0) freies Benzophenonimin(I) entstanden. Diese Annahme kann experimentell bestätigt werden. Setzt man dem Reaktionsgemisch von II und IV noch I in der Stöchiometrie nach Gl. 2 zu, so erhöht sich die Ausbeute an VI auf 43%.



Die Struktur von VI wurde durch eine dreidimensionale Röntgenstruktur aufgeklärt. Experimentelle Angaben zu dieser Analyse finden sich in Tab. 1, während in Tab. 2 die gefundenen Atomkoordinaten aufgeführt sind.

Das Grundgerüst des Komplexes zeichnet sich durch Hauptgruppenmetall-Nebengruppenmetall-Wechselwirkung (Ni—Li) aus, wie sie bereits in zahl-

TABELLE 1  
KRISTALLDATEN FÜR VI

$\text{C}_{73}\text{H}_{72}\text{Li}_3\text{N}_5\text{Ni}_2\text{O}_2$	Mol.-Gew. 1187.9
dunkelbraune Kristalle	
$a = 14.013(1) \text{ \AA}$	$V = 6354.8 \text{ \AA}^3$
$b = 13.817(1) \text{ \AA}$	$Z = 4$
$c = 33.147(1) \text{ \AA}$	Raumgruppe $P2_1/c$
$\beta = 81.960(4) \text{ }^\circ$	$d_{\text{ber}} = 1.241 \text{ g cm}^{-3}$
	$\mu(\text{Cu}-K_\alpha) = 10.79 \text{ cm}^{-1}$

12109 gemessene Reflexe ( $\pm h, k, l$ ):  $1.5 < \theta < 70^\circ$ , gemittelt zu 5903 beobachteten Reflexen, 5796 unbekannten Reflexen ( $I < 2.0 \sigma(I)$ )

Block-Diagonale Verfeinerung mit 85 Atomen, 766 Variablen

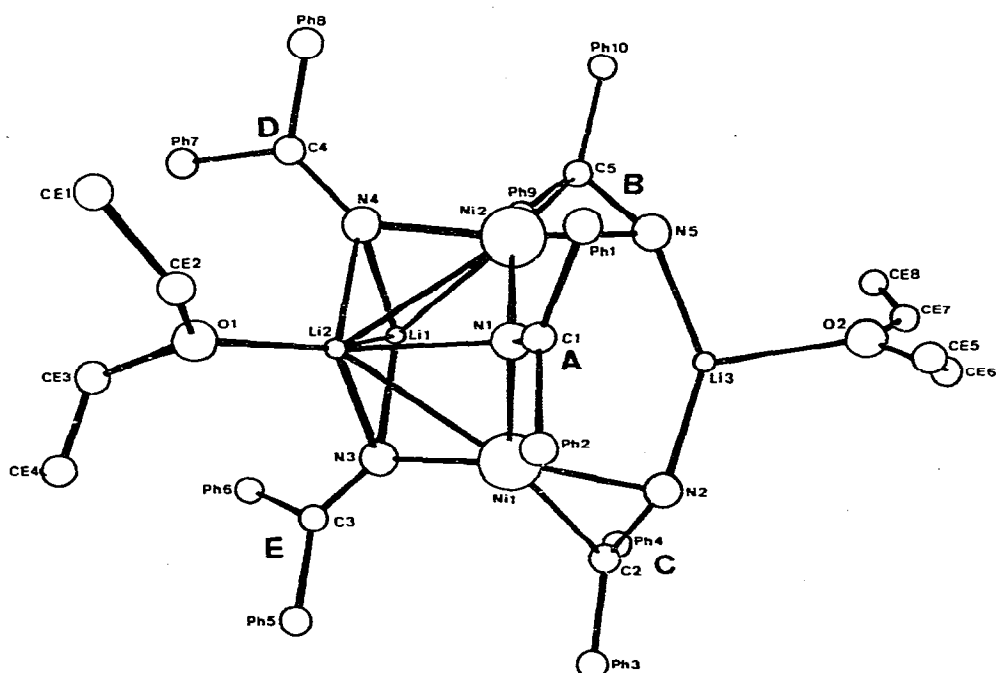
$R = 0.049$                      $R_w = 0.060$

TABELLE 2  
ATOMKOORDINATEN MIT STANDARDABWEICHUNGEN ( $\times 10^4$ )

Atom	x	y	z
Ni(1)	3351(1)	2144(1)	1629(1)
Ni(2)	2478(1)	2434(1)	858(1)
N(1)	2377(2)	2939(2)	1412(1)
N(2)	4396(2)	3035(2)	1553(1)
N(3)	2894(2)	856(2)	1655(1)
N(4)	1615(2)	1380(2)	947(1)
N(5)	3648(2)	2876(2)	534(1)
C(1)	2012(2)	3726(2)	1570(1)
C(2)	4680(2)	2219(2)	1761(1)
C(3)	2868(2)	145(2)	1905(1)
C(4)	817(2)	1157(2)	823(1)
C(5)	3170(2)	2221(3)	309(1)
C(101)	2802(2)	2614(3)	-65(1)
C(102)	2065(3)	3291(3)	-31(1)
C(103)	1769(3)	3700(3)	-374(1)
C(104)	2202(3)	3432(4)	-757(1)
C(105)	2928(4)	2759(4)	-792(1)
C(106)	3217(3)	2344(3)	-452(1)
C(11)	1524(2)	4475(2)	1340(1)
C(12)	1862(3)	4691(3)	938(1)
C(13)	1402(4)	5358(3)	727(1)
C(14)	585(3)	5816(3)	901(1)
C(15)	240(3)	5622(3)	1298(1)
C(16)	706(3)	4956(3)	1519(1)
C(21)	2067(2)	3991(2)	2008(1)
C(22)	1736(3)	3376(3)	2328(1)
C(23)	1800(3)	3626(3)	2725(1)
C(24)	2211(3)	4495(3)	2813(1)
C(25)	2532(3)	5111(3)	2506(1)
C(26)	2457(3)	4874(3)	2104(1)
C(31)	4757(2)	2288(3)	2203(1)
C(32)	4334(3)	3045(3)	2440(1)
C(33)	4418(3)	3127(3)	2851(1)
C(34)	4950(3)	2481(4)	3030(1)
C(35)	5362(4)	1724(4)	2812(1)
C(36)	5281(3)	1630(4)	2401(1)
C(41)	5394(2)	1586(3)	1502(1)
C(42)	5363(3)	580(3)	1522(1)
C(43)	6026(3)	25(3)	1274(1)
C(44)	6719(3)	446(4)	999(1)
C(45)	6780(3)	1442(4)	982(1)
C(46)	6123(3)	2004(3)	1232(1)
C(51)	2969(2)	208(3)	2350(1)
C(52)	2711(3)	1044(3)	2567(1)
O(53)	2762(3)	1105(3)	2977(1)
C(54)	3106(4)	343(4)	3174(1)
C(55)	3389(4)	-483(4)	2969(1)
C(56)	3320(3)	-568(3)	2559(1)
C(61)	2735(3)	-883(2)	1754(1)
C(62)	3259(3)	-1187(3)	1395(1)
C(63)	3132(3)	-2118(3)	1244(1)
C(64)	2485(4)	-2738(3)	1452(1)
C(65)	1977(4)	-2450(3)	1807(1)
C(66)	2087(3)	-1528(3)	1964(1)
C(71)	374(2)	172(2)	900(1)
C(72)	944(3)	-631(3)	941(1)
C(73)	542(3)	-1521(3)	1044(1)
C(74)	-438(3)	-1639(3)	1102(1)

TABELLE 2 (Fortsetzung)

Atom	<i>x</i>	<i>y</i>	<i>z</i>
C(75)	-1016(3)	-860(3)	1065(1)
C(76)	-622(3)	39(3)	966(1)
C(81)	244(2)	1856(3)	602(1)
C(82)	-144(4)	1604(3)	258(1)
C(83)	-681(4)	2270(4)	70(1)
C(84)	-841(4)	3173(4)	232(2)
C(85)	-460(4)	3431(3)	561(1)
C(86)	96(3)	2791(3)	746(1)
C(91)	3453(2)	1191(3)	306(1)
C(92)	2904(3)	499(3)	135(1)
C(93)	3137(4)	-481(3)	141(1)
C(94)	3926(4)	-784(3)	313(1)
C(95)	4465(4)	-116(4)	484(1)
C(96)	4244(3)	853(3)	483(1)
Li(1)	2809(5)	659(5)	1064(2)
Li(2)	1607(5)	1631(5)	1548(2)
Li(3)	4448(5)	3137(5)	961(2)
O(1)	345(2)	1630(2)	1868(1)
O(2)	5346(2)	4178(2)	683(1)
CE(1)	-1191(6)	2349(8)	1801(3)
CE(2)	-332(4)	2411(6)	1920(2)
CE(3)	108(5)	632(8)	2012(2)
CE(4)	190(5)	441(8)	2362(2)
CE(5)	4603(8)	5434(5)	1074(2)
CE(6)	5418(6)	5038(5)	886(2)
CE(7)	6070(8)	4006(9)	362(3)
CE(8)	5150(7)	3496(10)	108(4)

Fig. 1. Innerer Molekülteil von  $(\text{Ph}_2\text{C}=\text{NH})_2(\text{Ph}_2\text{C}=\text{N}\text{Li})_3\text{Ni}_2 \cdot (\text{Et}_2\text{O})_2$  (wiedergabe ohne Phenylringe).

reichen unterschiedlichen Kombinationen beobachtet wurden [3]. Diese Bindungsbeziehungen sind aus der Abbildung des inneren Teiles des Moleküls (Fig. 1) ersichtlich, in der die Phenylringe aus Gründen der Übersichtlichkeit nicht dargestellt sind. Fig. 2 hingegen zeigt die gesamte Molekülstruktur.

In VI sind drei in unterschiedlicher Weise am Nickel fixierte Benzophenonimin-Einheiten zu beobachten:  $\pi$ -gebundenes  $\text{Ph}_2\text{C}=\text{NH}$ . (B, C), sowie  $\sigma$ -gebundene  $\text{Ph}_2\text{C}=\text{N}$ -Gruppen (A, E, D). Sämtliche Einheiten unterhalten die in Fig. 1 angezeigten Ionenpaar-Beziehungen zu Lithium.

Während zwischen zwei Lithium-Atomen (Li(1), Li(2)), die zwei  $\text{Ph}_2\text{C}=\text{N}$ -Einheiten (D, E) bindend überspannen, eindeutig Metall-Metall-Wechselwirkung (2.542 Å) festgestellt wird, befinden sich die gleichermassen von einer  $\text{Ph}_2\text{C}=\text{N}$ -Gruppe (A) überbrückten Nickel-Atome Ni(1)—Ni(2) jedoch auf nicht bindendem Abstand (3.013 Å). Zwei  $\text{Ph}_2\text{C}=\text{NH}$ -Gruppen (B, C) werden über ein Lithium-Atom (Li(3)) verknüpft, während sie gleichzeitig über das  $\pi$ -System der Ketimin-Gruppe an den Nickel-Atomen Ni(1) und Ni(2) fixiert sind. Eine dritte Koordinationsstelle an jedem Nickel wird von den  $\text{Ph}_2\text{C}=\text{N}$ -Gruppen D und E über  $\sigma$ -N—Ni-Bindung besetzt (C=N-Abstände 1.28 Å). Die entsprechenden in  $\pi$ -Beziehung zu Nickel stehenden C=N-Bindungen (B, C) sind in üblicher Weise auf 1.40 Å aufgeweitet. Die  $\text{Ph}_2\text{C}=\text{N}$ -Gruppen D und E stehen zudem in einer Ionenpaar-Beziehung zu dem senkrecht zum Ni—Ni-Vektor orientierten Li—Li-System. Verbleibende freie Koordinationsstellen an Li(2) bzw. Li(3) werden durch Ethermoleküle besetzt.

Wichtige geometrische Daten des Moleküls sind in Tab. 3 zusammengefasst; Tab. 4 gibt Positionsabweichungen von besten Ebenen sowie entsprechende

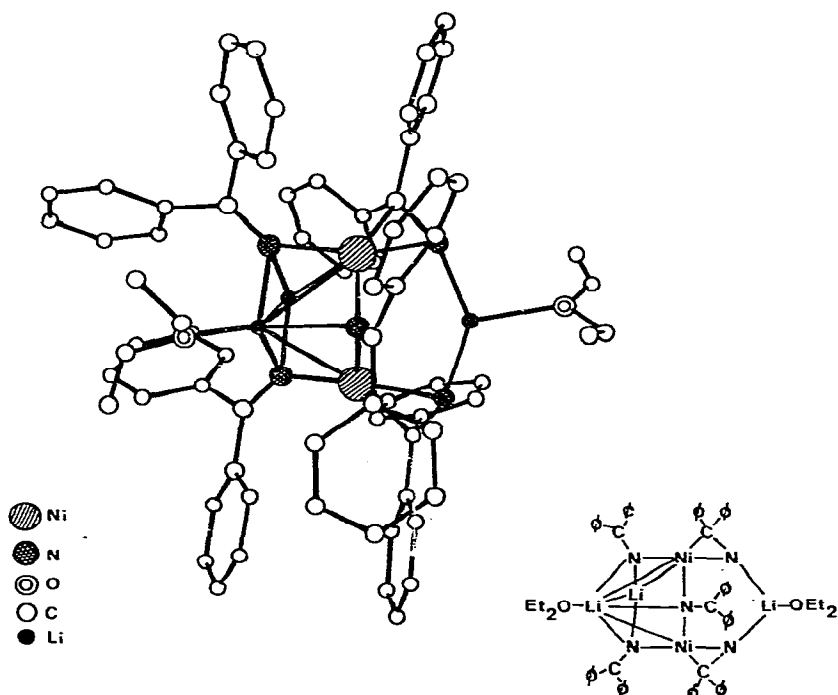


Fig. 2. Struktur von  $(\text{Ph}_2\text{C}=\text{NH})_2(\text{Ph}_2\text{C}=\text{N}\text{Li})_3\text{Ni}_2 \cdot (\text{Et}_2\text{O})_2$ .

TABELLE 3  
BINDUNGSABSTÄNDE (Å) UND WINKEL (°)<sup>a</sup>

Ni(1)···Ni(2)	3.013(1)	Ni(2)–N(1)	1.952(3)
Ni(1)–N(1)	1.966(3)	Ni(2)–N(4)	1.890(3)
Ni(1)–N(2)	1.904(3)	Ni(2)–N(5)	1.930(3)
Ni(1)–N(3)	1.889(3)	Ni(2)–Li(1)	2.606(7)
Ni(1)···Li(1)	2.949(7)	Ni(2)–Li(2)	2.679(7)
Ni(1)–Li(2)	2.594(7)	Ni(2)···Li(3)	2.992(8)
Ni(1)···Li(3)	2.866(8)	Ni(2)–C(5)	1.960(4)
Ni(1)–C(2)	1.975(4)		
Li(1)–Li(2)	2.542(10)	Li(2)–N(1)	2.121(8)
Li(1)–N(3)	1.998(8)	Li(2)–N(4)	2.024(8)
Li(1)–N(4)	2.031(8)	Li(2)–N(3)	2.169(8)
Li(3)–N(2)	1.960(9)	Li(2)–O(1)	1.931(8)
Li(3)–N(5)	1.958(9)	O(1)–CE(2)	1.432(9)
Li(3)–O(2)	2.043(9)	CE(1)–CE(2)	1.320(11)
O(2)–CE(6)	1.376(9)	O(1)–CE(3)	1.482(11)
CE(5)–CE(6)	1.340(13)	CE(3)–CE(4)	1.211(12)
O(2)–CE(7)	1.386(11)	CE(7)–CE(8)	1.090(18)
Li(2)···C(1)	2.953(8)		
N(1)–C(1)	1.283(5)	C(1)–C(21)	1.508(5)
C(1)–C(11)	1.506(5)	C–C (Ring 2)	1.380(14)
C–C (Ring 1)	1.378(12)		
N(2)–C(2)	1.408(5)	C(2)–C(41)	1.504(6)
C(2)–C(31)	1.488(6)	C–C (Ring 4)	1.383(9)
C–C (Ring 3)	1.378(18)		
N(3)–C(3)	1.284(5)	C(3)–C(61)	1.527(6)
C(3)–C(51)	1.503(6)	C–C (Ring 6)	1.378(20)
C–C (Ring 5)	1.378(16)		
N(4)–C(4)	1.281(5)	C(4)–C(81)	1.510(6)
C(4)–C(7 <sup>+</sup> )	1.504(6)	C–C (Ring 8)	1.371(22)
C–C (Ring 7)	1.379(11)		
N(5)–C(5)	1.401(5)	C(5)–C(101)	1.513(6)
C(5)–C(91)	1.478(6)	C–C (Ring 10)	1.381(6)
C–C (Ring 9)	1.386(15)		
N(1)–Ni(1)–N(2)	98.7(1)	N(2)–Ni(1)–Li(2)	151.8(2)
N(1)–Ni(1)–N(3)	107.1(1)	N(2)–Ni(1)–C(2)	42.5(2)
N(1)–Ni(1)–Li(2)	53.3(2)	N(3)–Ni(1)–Li(2)	55.2(2)
N(1)–Ni(1)–C(2)	140.9(2)	N(3)–Ni(1)–C(2)	111.3(2)
N(2)–Ni(1)–N(3)	149.9(1)	Li(2)–Ni(1)–C(2)	165.6(2)
N(1)–Ni(2)–N(4)	99.7(1)	N(4)–Ni(2)–C(5)	104.6(2)
N(1)–Ni(2)–N(5)	110.8(1)	N(5)–Ni(2)–Li(1)	106.0(2)
N(1)–Ni(2)–Li(1)	94.7(2)	N(5)–Ni(2)–Li(2)	148.9(2)
N(1)–Ni(2)–Li(2)	51.6(2)	N(5)–Ni(2)–C(5)	42.2(2)
N(1)–Ni(2)–C(5)	152.7(2)	Li(1)–Ni(2)–Li(2)	57.5(2)
N(4)–Ni(2)–N(5)	143.7(1)	Li(1)–Ni(2)–C(5)	91.1(2)
N(4)–Ni(2)–Li(1)	50.7(2)	Li(2)–Ni(2)–C(5)	146.9(2)
N(4)–Ni(2)–Li(2)	48.9(2)		
Ni(2)–Li(1)–Li(2)	62.7(2)	Li(2)–Li(1)–N(3)	55.5(3)
Ni(2)–Li(1)–N(3)	99.6(3)	Li(2)–Li(1)–N(4)	51.1(2)
Ni(2)–Li(1)–N(4)	46.1(2)	N(3)–Li(1)–N(4)	106.6(4)
Li(1)–Li(2)–Ni(2)	69.7(2)	Li(2)–Li(2)–N(4)	44.7(2)
Ni(1)–Li(2)–Li(1)	70.1(2)	Li(1)–Li(2)–N(1)	92.5(3)
Ni(1)–Li(2)–N(1)	48.0(2)	Li(1)–Li(2)–N(3)	49.4(2)
Ni(1)–Li(2)–N(3)	45.7(2)	Li(1)–Li(2)–N(4)	51.3(2)
Ni(1)–Li(2)–N(4)	105.9(3)	N(1)–Li(2)–N(3)	92.6(3)
Ni(2)–Li(2)–Li(1)	59.8(2)	N(1)–Li(2)–N(4)	90.2(3)
Ni(2)–Li(2)–N(1)	46.2(2)	N(3)–Li(2)–N(4)	100.7(3)
Ni(2)–Li(2)–N(3)	93.1(3)	N(5)–Li(3)–O(2)	100.6(4)
N(2)–Li(3)–N(5)	140.0(5)	N(2)–Li(3)–O(2)	115.8(4)

TABELLE 3 (Fortsetzung)

Li(2)—O(1)—CE(2)	127.4(4)	Li(3)—O(2)—CE(6)	118.1(5)
Li(2)—O(1)—CE(3)	108.9(4)	Li(3)—O(2)—CE(7)	124.3(6)
CE(2)—O(1)—CE(3)	123.2(5)	CE(6)—O(2)—CE(7)	115.4(7)
O(1)—CE(2)—CE(1)	122.2(8)	O(2)—CE(6)—CE(5)	117.7(7)
O(1)—CE(3)—CE(4)	117.7(9)	O(2)—CE(7)—CE(8)	133.6(1.2)
Ni(1)—N(1)—Ni(2)	100.5(1)	C(1)—C(11)—C(12)	121.2(4)
Ni(1)—N(1)—Li(2)	78.7(2)	C(1)—C(11)—C(16)	121.3(4)
Ni(1)—N(1)—C(1)	125.5(3)	C—C—C (Ring 1)	120.0(1.6)
Ni(2)—N(1)—Li(2)	82.2(2)	C(1)—C(21)—C(22)	122.1(4)
Ni(2)—N(1)—C(1)	131.4(3)	C(1)—C(21)—C(26)	120.6(4)
Li(2)—N(1)—C(1)	118.3(3)	C—C—C (Ring 2)	120.0(1.5)
N(1)—C(1)—C(11)	123.9(3)	C(11)—C(1)—C(21)	114.2(3)
N(1)—C(1)—C(21)	121.9(3)		
Ni(1)—N(2)—Li(3)	95.7(3)	C(2)—C(31)—C(32)	121.4(4)
Ni(1)—N(2)—C(2)	71.4(2)	C(2)—C(31)—C(36)	122.6(4)
Li(3)—N(2)—C(2)	125.1(4)	C—C—C (Ring 3)	120.0(2.2)
Ni(1)—C(2)—N(2)	66.1(2)	C(2)—C(41)—C(42)	122.7(4)
Ni(1)—C(2)—C(31)	114.9(3)	C(2)—C(41)—C(46)	119.8(4)
Ni(1)—C(2)—C(41)	114.6(3)	C—C—C (Ring 4)	120.0(1.5)
N(2)—C(2)—C(31)	119.7(3)	C(31)—C(2)—C(41)	117.7(3)
N(2)—C(2)—C(41)	113.5(3)		
Ni(1)—N(3)—Li(1)	98.7(3)	C(3)—C(51)—C(52)	120.4(4)
Ni(1)—N(3)—Li(2)	79.1(2)	C(3)—C(51)—C(56)	121.8(4)
Ni(1)—N(3)—C(3)	136.9(3)	C—C—C (Ring 5)	120.0(1.2)
Li(1)—N(3)—Li(2)	75.1(3)	C(3)—C(61)—C(62)	119.6(4)
Li(1)—N(3)—C(3)	121.9(3)	C(3)—C(61)—C(66)	122.3(4)
Li(2)—N(3)—C(3)	122.4(3)	C—C—C (Ring 6)	120.0(1.2)
N(3)—C(3)—C(51)	126.2(4)	C(51)—C(3)—C(61)	114.1(3)
N(3)—C(3)—C(61)	119.6(3)		
Ni(2)—N(4)—Li(1)	83.2(2)	C(4)—C(71)—C(72)	120.8(4)
Ni(2)—N(4)—Li(2)	86.3(2)	C(4)—C(71)—C(76)	121.7(4)
Ni(2)—N(4)—C(4)	134.7(3)	C—C—C (Ring 7)	120.0(1.5)
Li(1)—N(4)—Li(2)	77.6(3)	C(4)—C(81)—C(82)	122.7(4)
Li(1)—N(4)—C(4)	136.3(3)	C(4)—C(81)—C(82)	119.6(4)
Li(2)—N(4)—C(4)	118.1(3)	C—C—C (Ring 8)	120.0(1.1)
N(4)—C(4)—C(71)	121.4(4)	C(71)—C(4)—C(81)	115.3(3)
N(4)—C(4)—C(81)	123.2(4)		
Ni(2)—N(5)—Li(3)	100.6(3)	C(5)—C(91)—C(92)	120.0(4)
Ni(2)—N(5)—C(5)	70.0(2)	C(5)—C(91)—C(96)	123.0(4)
Li(3)—N(5)—C(5)	150.3(4)	C—C—C (Ring 9)	120.0(1.6)
Ni(2)—C(5)—N(5)	67.8(2)	C(5)—C(101)—C(102)	120.7(4)
Ni(2)—C(5)—C(91)	104.4(3)	C(5)—C(101)—C(106)	121.2(4)
Ni(2)—C(5)—C(101)	121.9(3)	C—C—C (Ring 10)	120.0(1.2)
N(5)—C(5)—C(91)	118.5(3)	C(91)—C(5)—C(101)	117.5(3)
N(5)—C(5)—C(101)	116.7(4)		

<sup>a</sup> Für Phenylringe (Ring x) sind jeweils gemittelte C—C-Abstände bzw. C—C—C-Winkel angegeben, wobei die Standardabweichungen nach  $\{\sum_i^n (l_i - \bar{l})^2 / (n - 1)\}^{1/2}$  gegeben ist.

Interplanarwinkel wieder. Fig. 3 zeigt die Packung der Moleküle in ihrer Projektion auf der Ebene *ac* entlang —*b*. Es werden keine aussergewöhnlichen intermolekularen Abstände beobachtet.

## Experimentelles

### Herstellung von V

Zu einer Lösung von 3.49 g (12.69 mMol) IV und 1.98 g (12.6 mMol) III in

TABELLE 4

Ebene	Abweichungen ( $\text{\AA}$ ) der Atompositionen von den besten Ebenen							
	Ni(1)	Ni(2)	N(1)	C(1)	N(2)	C(2)	N(3)	N(4)
Ebene 1	0.111		0.032		-0.158	0.105	-0.091	
Ebene 2	-0.114		0.100				0.102	
Ebene 3		0.169	-0.015					-0.087
Ebene 4		0.089	-0.079					-0.085
Ebene 5							-0.003	-0.003
Ebene 6	-0.026	-0.028	0.108	-0.053				

Interplanarwinkel ( $^{\circ}$ )									
1—2	4.3	1—3	88.9	1—4	74.9	1—5	82.6	1—6	69.5
2—3	87.3	2—4	79.0	2—5	83.8	2—6	71.6	3—4	18.3
3—5	75.1	3—6	88.8	4—5	88.7	4—6	75.5	5—6	18.6

<sup>a</sup> Atom nicht bei der Berechnung berücksichtigt.

250 ml Diethylether wurden bei  $-40^{\circ}\text{C}$  4.74 g (25.38 mMol) II in 200 ml Diethylether getropft. Nach Aufwärmung auf  $20^{\circ}\text{C}$  färbte sich die orangefarbene Lösung allmählich dunkelbraun, nach ca. 3 Wochen wurde der dunkelbraune Niederschlag abfiltriert. Ausbeute: 2.94 g (4.99 mMol, 39%) V. Fp.:  $179^{\circ}\text{C}$  (Zers.), diamagnetisch. Analyse: Gef.: C, 73.56; H, 4.82; N, 9.41; Li, 2.28; Ni, 9.84.  $\text{C}_{36}\text{H}_{28}\text{N}_4\text{Li}_2\text{Ni}$  (588.9) ber.: C, 73.41; H, 4.75; N, 9.50; Li, 2.35; Ni, 9.96%. IR (KBr,  $\text{cm}^{-1}$ ): Keine Bande im Bereich über 1600. Massenspektrum:  $m/e$  156 (bipy), 180, 181 ( $\text{Ph}_2\text{C=NH}$ ).  $^1\text{H-NMR}$  ( $\text{cm}^{-1}$ ) (( $\text{CD}_3)_2\text{SO}$ , 80 MHz, Lsgm. als Standard)  $\delta$ (ppm): 8.7 (d; 2 H von bipy), 84 (d; 2 H von bipy), 8.2 bis 6.3 (m; 24 H von bipy und  $\text{C}_6\text{H}_5$ ).

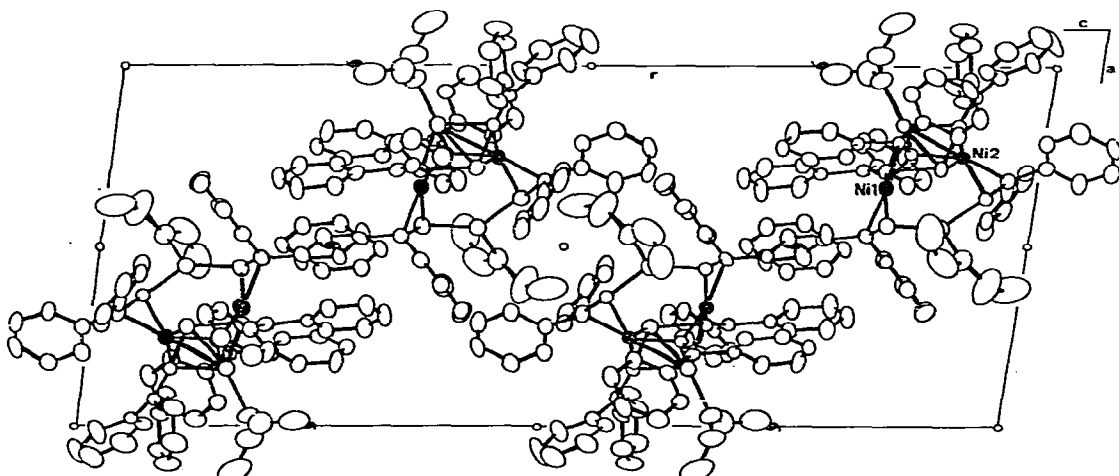


Fig. 3. Packungsdiagramm von VI auf der Ebene  $ac$  entlang  $-b$ .

N(5)	C(5)	Li(1)	Li(2)	Gleichung der Ebene			
				p	q	r	s
-0.113	0.047		0.255 <sup>a</sup>	-0.2274	0.2386	0.9441	4.4067
			-0.088	0.1557	-0.2223	-0.9625	-4.8437
			-0.656 <sup>a</sup>	-0.6827	0.6610	-0.3114	-1.4652
		0.003	0.075	0.8388	-0.5409	0.0622	1.5138
			0.003	-0.5213	-0.8248	0.2189	-2.2988
			2.082 <sup>a</sup>	-0.7151	-0.6039	0.3520	-3.7793

### Protolyse von V

2.65 g (4.49 mMol) V wurden in ca. 70 ml Diethylether suspendiert, mit ca. 100 ml 1 N H<sub>2</sub>SO<sub>4</sub> versetzt, kräftig gerührt und mit Diethylether extrahiert. Die etherische Phase liefert (GC): 1.34 g (7.36 mMol, 82%) Benzophenon. Die wässrige Phase wurde alkalisch eingestellt und ebenfalls mit Diethylether extrahiert. Erhalten (GC): 0.49 g (3.14 mMol, 70%)  $\alpha,\alpha'$ -Dipyridin (III).

### Herstellung von VI

(a) Durch Umsetzung von Benzophenonimin-lithium (II) mit Bis(1,5-cyclo-octadien)nickel (IV). Zu einer Suspension von 2.78 g (10.11 mMol) (COD)<sub>2</sub>Ni (IV) in 100 ml Diethylether wurde bei 20°C eine Lösung von 3.78 g (20.22 mMol) II in 150 ml Diethylether gegeben. Die zunächst gelbe Lösung färbte sich allmählich dunkelbraun. Nach ca. 4 Tagen filtrierte man das noch ungelöste (COD)<sub>2</sub>Ni ab, hielt das Filtrat ca. 60 Tage bei Raumtemperatur und trennte dann die erhaltenen dunkelbraunen Kristalle ab. Ausbeute: 0.66 g (0.55 mMol, 11%) VI. Fp.: 174°C (Zers.), paramagnetisch. Analyse: Gef.: C, 73.65; H, 6.15; N, 5.81; Li, 1.70; Ni, 9.90. C<sub>73</sub>H<sub>72</sub>N<sub>5</sub>O<sub>2</sub>Li<sub>3</sub>Ni<sub>2</sub> (1188.9) Ber.: C, 73.74; H, 6.05; N, 5.88; Li, 1.74; Ni, 9.87%. IR (KBr, cm<sup>-1</sup>): 3260 (N—H). Massenspektrum: m/e 74 (Et<sub>2</sub>O), 180, 181 (Ph<sub>2</sub>C=NH). <sup>1</sup>H-NMR (C<sub>4</sub>D<sub>8</sub>O, 60 MHz, Lsgm. als Standard) δ(ppm): 10.11 (s; 1 H, N—H), 9.0 bis 6.0 (m; 2 H, C<sub>6</sub>H<sub>5</sub>), 3.41 (q; 6 H, CH<sub>3</sub>—CH<sub>2</sub>—O), 1.14 (t; 4 H, CH<sub>3</sub>—CH<sub>2</sub>—O).

(b) Durch Umsetzung von IV, II mit I. Zu 2.37 g (8.62 mMol) IV in 130 ml Diethylether wurde bei -20°C eine Lösung von 4.82 g (25.86 mMol) II und 3.10 g (17.24 mMol) I in 170 ml Diethylether gegeben. Nach Aufwärmen auf Raumtemperatur färbte sich die orangefarbene Lösung allmählich dunkelbraun. Nach 3 Tagen wurden die ausgeschiedenen Kristalle abfiltriert. Ausbeute: 2.21 g (1.85 mMol, 43% bez. auf IV) VI.

**Literatur**

- 1 H. Hoberg, V. Götz, C. Krüger und Y.-H. Tsay, J. Organometal. Chem., 169 (1979) 209.
- 2 Dissertation: V. Götz, Ruhruniversität Bochum, 1977.
- 3 C. Krüger und Y.-H. Tsay, Angew. Chem., 85 (1973) 1051; Angew. Chem. Int. Ed. Engl., 12 (1973) 998; K. Jonas, D.J. Brauer, C. Krüger, P.J. Roberts und Y.-H. Tsay, J. Amer. Chem. Soc., 98 (1976) 74; H. Bönnemann, C. Krüger und Y.-H. Tsay, Angew. Chem., 88 (1976) 50; Angew. Chem. Int. Ed. Engl., 15 (1976) 46; K. Jonas, R. Mynott, C. Krüger, J.C. Sekutowski und Y.-H. Tsay, Angew. Chem., 88 (1976) 808; Angew. Chem. Int. Ed. Engl., 15 (1976) 767; C. Krüger, J.C. Sekutowski und Y.-H. Tsay, Z. Kristallogr., 149 (1979) 109.
- 4 I. Pattison, K. Wade, B.K. Wyatt, J. Chem. Soc. A, (1968) 837.